## МЕТОДОЛОГИЧЕСКИЙ ПОДХОД К ИММУНОФЕНОТИПИРОВАНИЮ ЛИМФОИДНЫХ КЛЕТОК В УСЛОВИЯХ СТИМУЛЯЦИИ КОРОТКОЦЕПОЧЕЧНЫМИ ЖИРНЫМИ КИСЛОТАМИ *IN VITRO*

### Е. М. Назаренко<sup>1), 2)</sup>, Г. И. Иванчик<sup>2)</sup>, Н. А. Манаева<sup>2)</sup>, Д. Б. Нижегородова<sup>1), 2)</sup>

1) Учреждение образования «Международный государственный экологический институт имени А. Д. Сахарова» Белорусского государственного университета, ул. Долгобродская, 23/1, 220070, г. Минск, Беларусь, kaf\_immunal@iseu.by

Короткоцепочечные жирные кислоты являются важным метаболитом микробиоты кишечника, поддерживающие гомеостаз иммунной системы человека. В последнее время появляется все больше исследований *in vivo* и *in vitro*, направленных на изучение возможности использования короткоцепочечных жирных кислот для функционального моделирования иммунных клеток. В данной статье представлен методологический подход к к иммунофенотипированию лимфоидных клеток в условиях стимуляции короткоцепочечные-ными жирными кислотами *in vitro*. На основе разработанного методологического подхода выявлено увеличение количества TNK-клеток в культуре в условиях стимуляции бутиратом за счет незрелых CD27-CD11b<sup>-</sup> TNK-лимфоцитов, что может быть использовано для улучшения методов экспансии данных клеток *in vitro*.

*Ключевые слова:* метаболиты микробиоты; короткоцепочечные жирные кислоты; бутират; NK-клетки; TNK-клетки; иммунофенотип; проточная цитометрия.

# METHODICAL APPROACH TO THE IMMUNOPHENOTYPING OF LYMPHOID CELLS UNDER STIMULATION WITH SHORT-CHAIN FATTY ACIDS IN VITRO

### E. M. Nazaranka<sup>1), 2)</sup>, H. I. Ivanchyk<sup>2)</sup>, N. A. Manaeva<sup>2)</sup>, D. B. Nizheharodava<sup>1), 2)</sup>

 International Sakharov Environmental Institute of Belarusian State University, Dolgobrodskaya str., 23/1, 220070, Minsk, Belarus, kaf\_immunal@iseu.by
Scientific Research Institute of Experimental and Clinical Medicine of Belarusian State Medical University, Dzerzhinsky Ave., 83, 220083, Minsk, Belarus, el.m.nazarenko@gmail.com

Short-chain fatty acids are an important metabolite of the intestinal microbiota that support the homeostasis of the human immune system. Recently, there has been an increasing number of *in vivo* and *in vitro* studies aimed at exploring the possibility of using short-chain fatty acids for functional modeling of immune cells. This article presents a methodological approach to immunophenotyping of lymphoid cells under conditions of stimulation with short-chain fatty acids *in vitro*. Based on the developed methodological approach, an increase in the number of TNK cells in culture was revealed under conditions of butyrate stimulation due to immature CD27-CD11b-TNK lymphocytes, which can be used to improve the methods of expansion of these cells *in vitro*.

*Keywords:* microbiota metabolites; short-chain fatty acids; butyrate; NK cells; NKT cells; immunophenotype; flow cytometry.

https://doi.org/10.46646/SAKH-2025-1-212-216

**Введение.** Важной метаболической активностью кишечной микробиоты является ферментация крахмала и клетчатки с образованием короткоцепочечных жирных кислот (КЦЖК) в качестве конечного продукта. Основными КЦЖК являются ацетат, пропионат и бутират, ко-

<sup>&</sup>lt;sup>2)</sup> Научно-исследовательский институт экспериментальной и клинической медицины Белорусского государственного медицинского университета, пр. Дзержинского, 83, 220083, г. Минск, Беларусь, el.m.nazarenko@gmail.com

торые продуцируются бактериями с разной скоростью. Концентрации в толстом кишечнике взрослого здорового человека варьирует: ацетат находится в диапазоне 20-43 ммоль/л, в то время как бутират и пропионат содержатся в концентрациях 6-15 и 6-13 ммоль/л, соответственно [1]. Разнообразие рациона, которое меняется в течение жизни, оказывает сильное влияние на количество и качество КЦЖК. В частности, концентрация ацетата выше на ранних стадиях жизни, поскольку это основной продукт метаболизма штаммов *Bifidobacteria*, характеризующих микробиоту кишечника младенца. Позже, вместе с окончанием грудного вскармливания, наблюдается увеличение численности *Firmicutes*, которые способны расщеплять сложные полисахариды и другие сахара посредством гидролиза, что приводит к образованию пропионата и бутирата [2].

Всасываясь в кишечнике, КЦЖК достигают других органов и выполняют регуляторные функции метаболизма глюкозы и жиров и контроля иммунной системы, подавляя воспалительные реакции. Реализация функций опосредована несколькими механизмами, включая ингибирование фермента гистондеацетилазы (HDAC), сигнализацию рецептора, связанного с G-белком (GPR), выработку ацетил-КоА и метаболическую интеграцию [3].

Недавние исследования показали, что противоопухолевая активность иммунных клеток может модулироваться микробиотой кишечника и ее метаболитами, что потенциально может быть полезным для лечения новообразований [4]. В частности, большой интерес представляет использование КЦЖК в терапии, основанной на *in vivo* усилении иммунного ответа пациентов со злокачественными опухолями. Иммунотерапия на основе NK- и TNK-клеток привлекает все больший интерес в области лечения рака. Поэтому определение потенциальных эффектов КЦЖК на NK- и TNK-клетки является перспективным направлением улучшения современных подходов иммунотерапии новообразований.

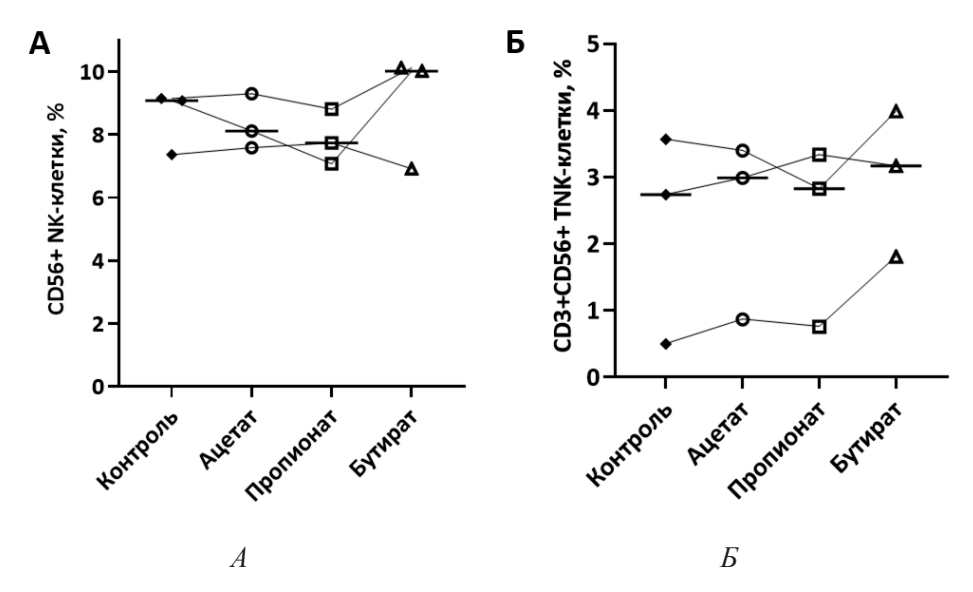
Цель исследования: разработать методологический подход к иммунофенотипированию лимфоидных клеток в условиях стимуляции короткоцепочечными жирными кислотами *in vitro*.

**Материалы и методы исследования.** Материалом исследования являлись мононуклеары периферической крови (МПК) здоровых взрослых лиц (n=5) в возрасте 33,5 (23,5; 43,3) лет после получения информированного согласия. МПК выделяли путем центрифугирования разведенной в физиологическом растворе периферической крови на градиенте плотности Roti®Sep 1077 (Carl Roth, Германия).

МПК культивировали в 96-луночном U-образном планшете в концентрации 2×10<sup>5</sup> клеток на лунку в питательной среде RPMI-1640 (Gibco, Германия) с добавлением 10 % фетальной бычьей сыворотки (Gibco, Германия), 1% антибиотика-антимикотика (Gibco, Германия), 1 % L-глютамина (Gibco, США) в присутствии или отсутствии (контроль) натриевых солей ацетата (1 мМ, Riedel-de Haën, Германия), пропионата (0,5 мМ, Neos Ingridients, Россия) и бутирата (0,5 мМ, Glentham Life Sciences, Великобритания) в СО2-инкубаторе в течение 3-х суток в увлажненной атмосфере с 5 % СО2 при 37 °С. По окончании культивирования пробы окрашивали моноклональными антителами CD3-FITC и CD56-PE (Elabscience, Китай), CD27-PE/Cyanine7 (BioLegend, США) и CD11b-APC-A750 (Beckman Coulter, Франция) в течение 15 мин в темноте при комнатной температуре. Учет результатов выполняли на 2000 CD56+ лимфоцитов с использованием проточного цитофлуориметра CytoFlex (Beckman Coulter, США) и программы CytExpert (версия 2.3.0.84, Beckman Coulter, США).

Визуализацию и статистическую обработку данных проводили в программе GraphPad Prism 8 («GraphPad Software Inc.», США). Для описания данных использовали значение медианы, 25 % и 75 % процентилей: Ме (25 %; 75 %). Определение различий для зависимых переменных осуществляли с помощью непараметрического критерия Вилкоксона (р (W)); результаты принимали достоверными при уровне значимости p<0,05.

**Результаты и обсуждение.** Анализ воздействия основных КЦЖК выявил наилучшую тенденцию ответа NK- и TNK-клеток в условиях стимуляции бутиратом (рис. 1), что соотносится с литературными данными о преобладающем влиянии бутирата на физиологические реакции среди остальных КЦЖК [2]. Исходя из этого, дальнейшее функциональное иммунофенотипирование NK- и TNK-клеток проводилось для культур МПК, культивируемых в присутствии бутирата.



*Рис. 1.* Изменение количества NK- и TNK-клеток в культурах МПК здоровых лиц под воздействием исследуемых КЦЖК (полоской отмечены медианы):  $A - \kappa o \pi$ ичество CD56<sup>+</sup> NK-клеток;  $E - \kappa o \pi$  СD3<sup>+</sup>CD56<sup>+</sup> TNK-клеток

Различные исследования мышиных и человеческих NK-клеток показывают, что процесс их развития можно разделить по экспрессии маркеров CD27 и CD11b на 4 стадии, связанных с прогрессивным приобретением эффекторных функций: CD27–CD11b− → CD27+CD11b+ → CD27-CD11b+ [5]. На рисунке 2 представлена стратегия гейтирования лимфоидных клеток для определения субпопуляций NK- и TNK-клеток на основании экспрессии маркеров CD27 и CD11b. Первоначально для исключения из анализа дублетных клеток на графике высоты импульса прямого светорассеяния (FSC-H) против площади прямого светорассеяния (FSC-A) выделялась область одиночных лейкоцитов (single cells, рис. 2A), и далее обозначался гейт лимфоидных клеток (lymphocytes) в координатах площади прямого (FSC-A) и бокового светорассеяния (SSC-A, рис. 2Б). Популяции NK- и TNK-клеток определялись на точечном графике среди всех лимфоцитов как CD3–CD56+ и «двойные позитивные» CD3+CD56+, соответственно (рис. 2B), после чего гейты применялись к графикам с комбинацией маркеров CD27 и CD11b (рис. 2Г и 2Д).

В таблице отражена характеристика влияния бутирата на лимфоидные клетки в культуре МПК здоровых лиц. Выявлено увеличение количества NK-клеток без статистической значимости (p=0,250) и значительный рост популяции TNK-клеток (p=0,008) в условиях стимуляции бутиратом по сравнению с контролем. Полученные данные согласуются с недавними исследованиями Pérez et al., которые показали увеличение пролиферации NK-клеток линии NK-92 в присутствии 2 мкМ бутирата в культуре in vitro [4]. Аналогичные данные по влиянию бутирата на TNK-клетки в литературе отсутствуют, как и не описаны субпопуляционные изменения CD27/CD11b NK- и TNK-клеток в ответ на действие КЦЖК.

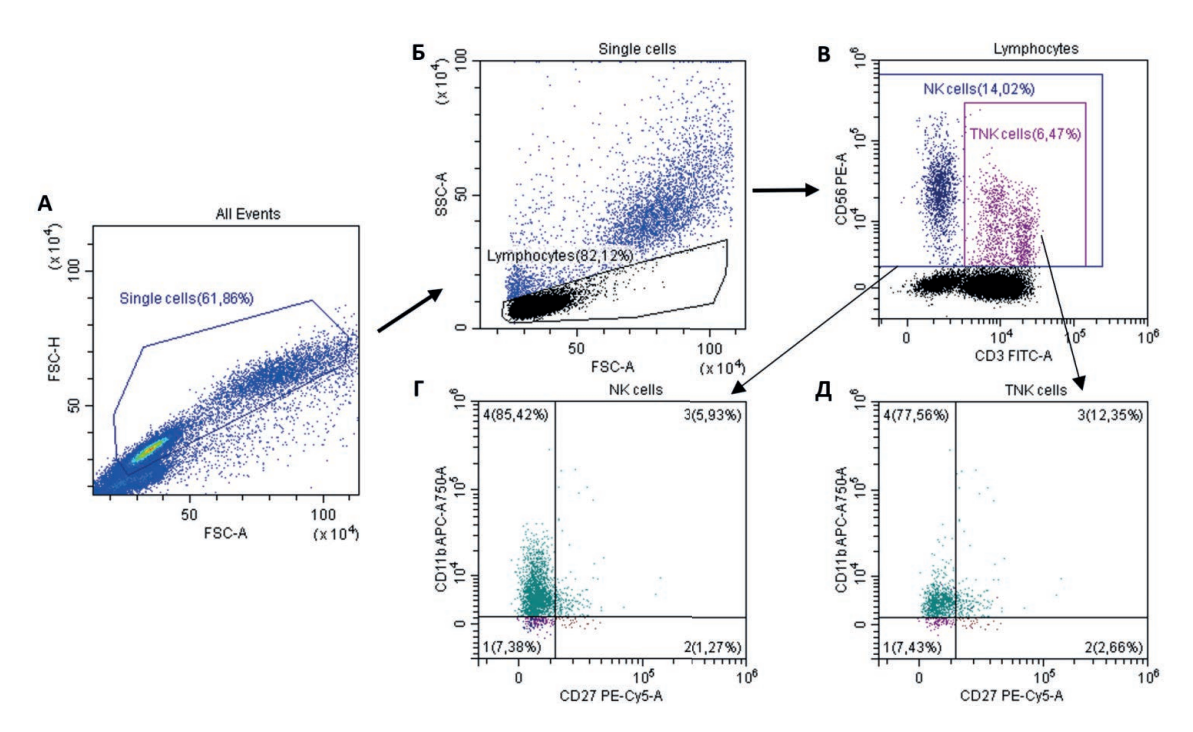


Рис. 2. Анализ субпопуляций NK- и TNK-клеток методом проточной цитометрии:

A- oбласть одиночных лейкоцитов (single cells); B- oбласть лимфоцитов (lymphocytes); B- oбласти CD56<sup>+</sup> NK- и CD3<sup>+</sup>CD56<sup>+</sup> TNK-клеток (NK cells и TNK cells);  $\Gamma$  и  $\mathcal{J}-$  гейтирование субпопуляций NK- и TNK-клеток по экспрессии маркеров CD27 и CD11b:

- 1 «двойные негативные» клетки CD27-CD11b-, 2 субпопуляция CD27+CD11b-,
- 3 «двойные позитивные» клетки CD27<sup>+</sup>CD11b<sup>+</sup>, 4 субпопуляция CD27<sup>-</sup>CD11b<sup>+</sup>

Установлено, что наибольшее количество NK- и TNK-клеток в культуре МПК являлись CD27<sup>-</sup>CD11b<sup>+</sup>, что соответствует данным других авторов о распределении субпопуляций в организме. У NK- и TNK-клеток наблюдались схожие тенденции в ответе на стимуляцию бутиратом: увеличение субпопуляции незрелых CD27<sup>-</sup>CD11b<sup>-</sup> клеток (p=0,002) и снижение цитокин-продуцирующих CD27<sup>+</sup>CD11b<sup>-/+</sup> (p=0,002) без статистически значимых изменений в эффекторных CD27<sup>-</sup>CD11b<sup>+</sup> (p=0,070 и p=0,365, соответственно). Таким образом, количественное увеличение TNK-клеток (тенденция у NK-клеток) в условиях стимуляции бутиратом происходило за счет индукции незрелой CD27<sup>-</sup>CD11b<sup>-</sup> субпопуляции.

Влияние бутирата на субпопуляционный состав NK- и TNK-клеток в культуре МПК

Популяции лимфоидных клеток Контроль		Условия культивирования		n(W)
		Бутират		p(W)
CD56+ NK-клетки, %		9,4 (8,7; 12,8)	10,5 (9,2; 14,5)	p=0,250
CD3+CD56+ TNK-клетки, %		3,2 (1,4; 5,0)	3,6 (2,6; 6,1)	p=0,008
CD56+ NK- клетки	CD27–CD11b–, %	7,4 (6,7; 9,3)	9,4 (9,3; 13,0)	p=0,002
	CD27+CD11b-/+, %	8,4 (7,9; 9,8)	7,8 (6,5; 8,7)	p=0,002
	CD27–CD11b+, %	85,3 (81,5; 85,4)	83,0 (78,4; 84,2)	p=0,070
CD3+ CD56+ TNK- клетки	CD27–CD11b–, %	15,8 (11,6; 19,9)	24,3 (18,2; 27,2)	p=0,002
	CD27+CD11b-/+, %	21,7 (18,4; 42,3)	16,6 (12,8; 27,8)	p=0,002
	CD27–CD11b+, %	62,5 (38,1; 70,0)	59,1 (44,9; 69,0)	p=0,365

Согласно литературным данным каждая субпопуляция может быть охарактеризована уникальными функциональными и фенотипическими признаками: CD27+CD11b- и CD27+CD11b+ NK-клетки обладают высокой способностью секретировать цитокины, CD27-CD11b- указывает на незрелый фенотип, экспрессируя высокие проценты активирующего рецептора NKG2A. Показано, что порядка 6% NK-клеток периферической крови экспрессируют CD27, 14% CD27+ NK-клеток существуют в костном мозге, и >30% CD27+ NK-клеток находятся в селезенке и миндаликах. Более 90% NK-клеток периферической крови относятся к популяции CD27-CD11b+, тогда как NK-клетки из пуповинной крови имеют популяции, которые составляют 80% CD27-CD11b+ и 20% CD27+CD11b+. По сравнению с этим, NK-клетки децидуальной оболочки плаценты более незрелые, почти 60% из них имеют «двойной негативный» фенотип CD27-CD11b- [6]. NK-клетки из инфильтрирующих опухоль тканей также показали высокое содержание субпопуляции CD27-CD11b-, однако механизм индукции незрелых NK-клеток в опухолевом микроокружении до конца не выявлен [7].

Заключение. В ходе исследования был разработан методологический подход к иммунофенотипированию лимфоидных клеток в условиях стимуляции короткоцепочечными жирными кислотами *in vitro*. Показано увеличение количества TNK-клеток в условиях стимуляции бутиратом за счет субпопуляции незрелых CD27-CD11b- TNK-клеток. Дальнейшее выяснение механизмов подобной пролиферации TNK-клеток под воздействием бутирата является перспективным направлением в изучении ответа лимфоидных клеток на влияние КЦЖК и использовании метаболитов микробиоты в моделировании функционального профиля лимфоцитов для практического использования.

### Библиографические ссылки

- 1. Use of Short-Chain Fatty Acids for the Recovery of the Intestinal Epithelial Barrier Affected by Bacterial Toxins / D. Pérez-Reytor [et al.] // Front. Physiol. 2021. Vol. 12, art. 650313. P. 1–8.
- 2. Short-Chain Fatty-Acid-Producing Bacteria: Key Components of the Human Gut Microbiota / W. Fusco [et al.] // Nutrients. 2023. Vol. 15, art. 2211. P. 1-22.
- 3. Regulation of short-chain fatty acids in the immune system / Liu X-f [et al.]. Front. Immunol. 2023.14:1186892.
- 4. Microbiota-Derived Short-Chain Fatty Acids Boost Antitumoral Natural Killer Cell Activity / M. Pérez [et al.] // J. Clin. Med. 2024. Vol. 13, art. 3885. P. 1–12.
- 5. Liver-infiltrating CD11b-CD27- NK subsets account for NK-cell dysfunction in patients with hepatocellular carcinoma and are associated with tumor progression // Q.F Zhang [et al.] // Cell Mol Immunol. 2017. Vol. 14. P.819-829.
- 6. Subsets of human natural killer cells and their regulatory effects / B. Fu [et al.] // Immunology. 2014. Vol. 141. P. 483–489.
- 7. CD11b-CD27- NK Cells Are Associated with the Progression of Lung Carcinoma / J. Jin [et al.] // PLOS ONE. 2013. Vol. 8(4), art. e61024. P. 1-11.